セッション GISA 2024

口頭発表

齒 2024年10月26日(土) 9:00~10:40 **盒** D会場(s-519D 防災研究所大会議室)

[D1] データ取得

座長:永田 彰平(東北大学)

9:00 ~ 9:20

[D1-01]

変化検知に基づく単眼衛星画像を用いた建物フットプリント更新手法の開発

*陳 聖隆 1 、小川 芳樹 1 、関本 義秀 1 (1. 東京大学空間情報科学研究センター)

9:20 ~ 9:40

[D1-02]

小型2次元レーザスキャナと画像認識技術を用いた時空間解像度の高い歩行軌跡の検出手法:大学病院の集中治療部におけるケーススタディ

*沖 拓弥 1 、仙頭 佳起 1 、山中 理沙 1 、野坂 宜之 1 、野口 綾子 1 、海塩 涉 1 、若林 健二 1 (1. 東京科学大学)

9:40 ~ 10:00

[D1-03]

Alカメラによる歩行者断面交通量データを用いた大規模商業施設来客者のゾーン別滞留時間分 布推定

*渡部 隼人 1 、大佛 俊泰 1 、岸本 まき 1 、金子 弘幸 2 、陳 紹華 2 、岩崎 庸浩 3 (1. 東京科学大学、2. 鹿島建設 技術研究所、3. 鹿島建設 建築設計本部)

10:00 ~ 10:20

[D1-04]

オープンアクセス衛星データを利用した建物検出精度向上のための立地特性分類手法の考察 *荻野 光司¹、大佛 俊泰¹ (1. 東京科学大学)

10:20 ~ 10:40

[D1-05]

書き手はどこを訪れたか? ―言語モデルで訪問行動を読み取る―

大友 寛之 2 、*大内 啓樹 1,2 、東山 翔平 4,1 、寺西 裕紀 3,1 、山本 和太郎 5 、進藤 裕之 6 、渡辺 太郎 1 (1. 奈良先端科学技術大学院大学、2. 株式会社サイバーエージェント、3. 理化学研究所、4. 情報通信研究機構、5. 株式会社NTTドコモ、6. MatBrain株式会社)

D1-01 GISA 2024

変化検知に基づく単眼空中写真を用いた建物フットプリント更新手法の試み

陳聖隆*・小川芳樹**・関本義秀***

Study of building footprint update method based on change detection using monocular aerial images

Shenglong Chen*, Yoshiki Ogawa**, Yoshihide Sekimoto***

Abstract Regular updates to building footprint data are essential for maintaining its accuracy and relevance. Traditional methods rely heavily on bi-temporal aerial imagery to detect building changes. However, this approach can result in discrepancies due to factors such as sensor angle variations, building misalignments, and pseudo-changes from non-building elements. Additionally, existing databases often underutilize the semantic information of buildings. To address these challenges, this study introduces a novel building footprint updating method that integrates up-to-date monocular aerial image with historical building footprint data, enabling the detection of newly constructed and demolished buildings. Validation with the SI-BU and Osaka datasets demonstrate that this method holds strong potential for broad application in the regular updating of building databases.

Keywords: 建物フットプリント更新(Building footprint update),変化検知(Change detection), 単眼空中写真(Monocular aerial image),セマンティック・セグメンテーション(Semantic segmentation)

1. はじめに

建物のフットプリントは、都市を分析・管理する際の重要な基盤データである。従来、建物フットプリントの更新は地図会社や自治体が調査により行うか、あるいはボランティアによって(例:OpenStreetMap)行われていた。しかし、リモートセンシング技術の発展により、定期的に撮影される高解像度の空中写真が、効率的かつ高品質なデータソースとして注目されている。一般的な建物フットプリントの更新手法としては、空間参照された二時期の空中写真を比較し、ピクセル単位で変化領域を抽出することにより、解体及び新築された建物を識別する(笹川ほか、2021)。しかし、この方法には、いくつかの課題がある。

- 1) 二時期の空中写真における建物フットプリントは、撮影角度の違いにより完全には整合していない.この幾何学的なズレは、特に高い建物において予測が難しい問題がある(図 1a).
- 2) 空中写真において、建物と背景の領域を明確に

- 区別するのは困難であり、撮影期間や照明条件などの違いによっては、非建物領域に擬似変化が生じる可能性がある. (図 1b)
- 3) 既存データベースに含まれる建物に関する事前 情報(例:位置など)が十分に活用されてない. また,既存データベースと完全に一致する過去 の空中写真を見つけのは難しい問題がある.





(a) 建物フットプリントのズレ





(b) 非建物領域における擬似変化

図 1. 二時期空中写真を使う変化検知手法の課題

- ・ 正会員 東京大学空間情報科学研究センター (CSIS, University of Tokyo) chen-sl@csis.u-tokyo.ac.jp
- ** 正会員 東京大学空間情報科学研究センター (CSIS, University of Tokyo)
- *** 正会員 東京大学空間情報科学研究センター (CSIS, University of Tokyo)

ogawa@csis.u-tokyo.ac.jp sekimoto@csis.u-tokyo.ac.jp 過去の建物フットプリントは、当時の建物分布を 記録しており、その変遷を検証するための貴重な参 考データとなる。本研究では、従来の二時期の空中 写真から建物変化を抽出する方法とは異なり、最新 の単眼空中写真と過去の建物フットプリントデータ を組み合わせて、建物データの更新手法を提案した。 これにより、建物に関するセマンティック情報を最 大限に活用し、擬似変化おる影響を軽減することに 目指している。対象地域として大阪市東住吉区を選 定し、本手法の有効性を検証した。

2. 手法

2.1. アーキテクチャ

本提案手法は、最新の空中写真と状況変化を示す建物マスクを組み合わせ、解体および新築された建物を個別に抽出することが可能である。建物マスクは、それぞれ、未変化(グレー)、解体(赤)、新築(青)を注釈している(図 1). また、学習済みエンコーダ、変形可能畳み込みネットワーク(DCN)ベースの変換モジュール、およびマルチタスクデコーダーの3つの部分で構成されている(図 2). まず、学習済みの ResNet34 エンコーダを用いて、空中写真からマルチスケールの特徴が抽出・融合される. 次に、これらの特徴量を過去の建物マスクに基づいて前景と背景の特徴量を分離する. この際、建物マスクと特徴量のオフセットを考慮し、DCN ベースの変

換モジュールで調整が行われる. 最後に、マルチタスクデコーダーを用いて、解体と新築された建物を同時に抽出する (Liao et al., 2023).

2.2. DCN ベースの変換モジュール

過去の建物フットプリントは、空中写真上で正確に位置合わせさていない場合があり、このズレは変化検知において大きなノイズを引き起こす可能性がある。この影響を軽減するため、DCNベースの変換モジュールが導入され、画像とフットプリントの幾何学的関係を学習し、特徴を適応的に調整する。これにより、入力された融合特徴に基づき、DCN層が建物(前景)と背景のオフセットを自動的に学習し、空間的位置における特徴とマスクの不整合を修正することが可能となる。

2.3. マルチタスクデコーダー

建物変化を検出するため、補助、解体及び新築建物抽出の三つの抽出タスクを設計した。まず、空間行列の乗算により、前景と背景の特徴量を算出し、それを分割ブロックに入力して建物フットプリントを抽出する。前景と背景の特徴は、それぞれ過去の建造マスクの内部と外部空間の特徴に対応している。解体建物の特徴は、現存する建物の特徴と逆の関係にあるため、空間分割する前にこれらの特徴を反転させる必要がある。さらに、既存建物のセマンティ

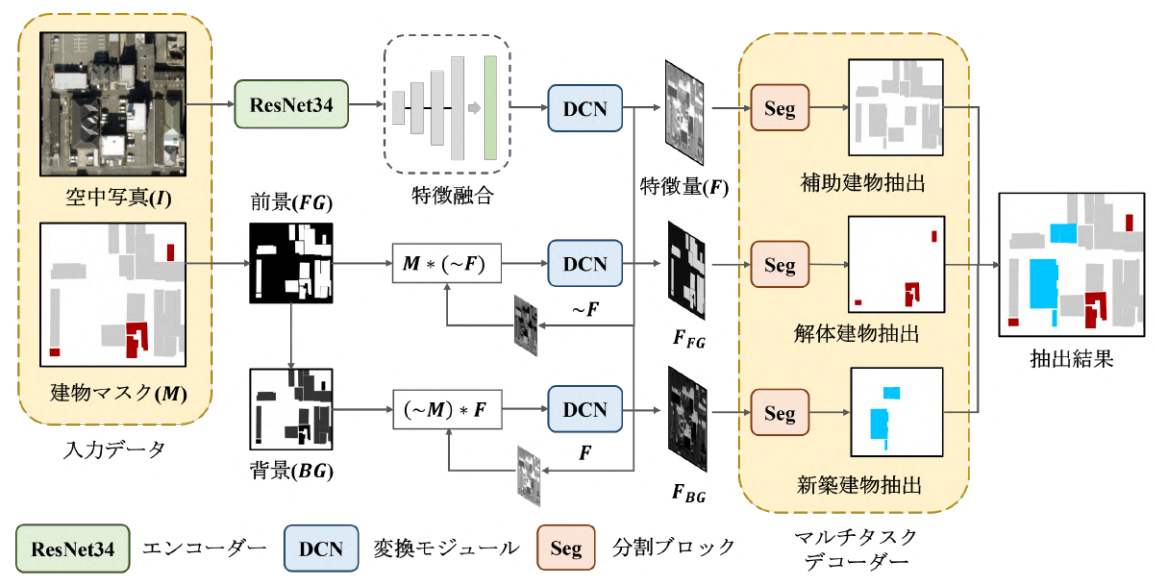


図 2. 変化検知ネットワークのアーキテクチャ (Liao et al., 2023)

ック特徴を十分に活用し、背景から建物を区別する ための特徴を学習するために、空中写真から既存建 物を抽出する補助抽出ヘッドを設計した.

3. データセット

3.1. SI-BU データセット

SI-BU データセットは,2019年と2021年に撮影されたGoogle Earthの空中写真(解像度0.5~0.8m)で構成され、中国貴州省の約172km²の範囲をカバーしている。データセットには合計4,932枚のパッチが含まれ、そのうち3,604枚が学習用、1,328枚がテスト用に利用される。建物の変化アノテーションは、背景、未変化の建物、新築の建物、解体の建物の4クラスに分類され、それぞれ「0」、「1」、「2」、「3」の値が割り当てられている(Liao et al., 2023)。

3.2. 大阪データセット

大阪データセットは大阪市東住吉区(約2.3km²) がふくまれおりテストエリアとして選定した(図3). 国土地理院が令和6年1月および平成23年1月に撮影した解像度0.3mと0.6mの空中写真(512×512ピクセル,計66枚)と、それに対応する建物アノテーションで構成されている. 建物アノテーションは2022年版Plateau3D都市モデルの建物フットプリントに基づき、10年間の建物変化を正確に反映するよう手動で補正した.

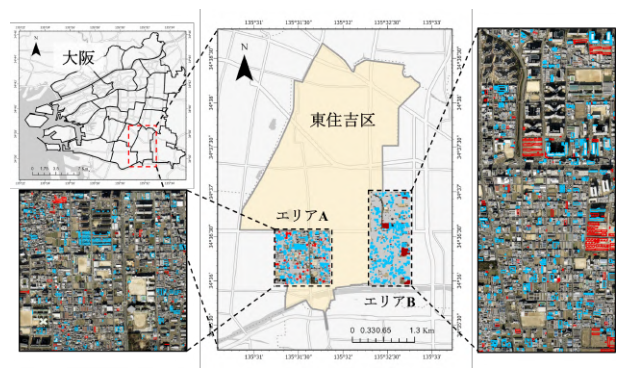


図3. 大阪データセットの概要

4. 結果·考察

4.1. 評価指標

本研究は、建物単位での変化検知を目的としている。 セマンティック・セグメンテーションのフレ

ームワークを用いて建物の変化マスクを抽出するが、 結果の定量的評価には、オブジェクト単位のタイン スタンス・セグメンテーションメトリクスを使用す る. 適合率、再現率、及び F 値は、式 1 に示すよう に定義される. ここで、TP、FP、FN はそれぞれ、 正しく検出された、誤って検出された、検出されな かった建物変化を指す.

適合率=
$$\frac{TP}{TP + FP}$$
再現率=
$$\frac{TP}{TP + FN}$$

$$F 値=
$$\frac{2 \times \overline{\text{無現率} \times \text{適合率}}}{\overline{\text{再現率} + \overline{\text{ӹ合率}}}}$$$$

4.2. 実験結果

提案手法の有効性を検証するため、二時期画像を基ずく変化検知手法である CGNet-CD と比較を行った (Han et al., 2023). これら 2 つの手法は原理が異なるため、比較の公平性を確保するために、SI-BU データセットで統一して学習させた. 実験はすべてPyTorch を用いて実装し、A100 GPU(40GB)を 4 枚搭載した mdx プラットフォーム上で実行した.

表1に、SI-BU データセットでの各手法の変化検 知精度を示す. 提案手法の F 値は 0.57 に達し, CGNet-CD を 0.04 上回っており、提案手法の優位性 を示した. これは、過去の建物フットプリントがセ マンティック情報を提供し、単なる画像からのピク セルレベルの変化検知よりも,変化領域をより正確 に特定できるためである. 図4には、両手法による 変化検知結果を示している. 提案手法は新築(青) と解体(赤)の建物を区別できるが、CGNet-CD は 全体的な変化領域(黒)しか検出できない. 新築 (図 4a) と解体建物 (図 4b) の結果を示し、提案手法は 精度と形状の完全性で優れている一方, CGNet-CD は非建物の領域で擬似変化の影響を受けやすいこと を示している. 図 4c は、撮影角度の違いによる高層 建物のズレを示し、提案手法はこの問題を効果的に 回避できることを示している.

表 1. SI-BU データセットでの精度

手法	適合率	再現率	F値
CGNet-CD	0.49	0.58	0.53
提案手法	0.54	0.60	0.57

D1-01 GISA 2024

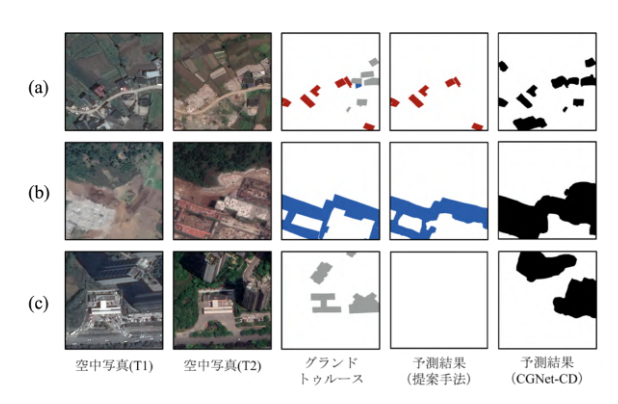


図 4. SI-BU データセットの検出結果

4.3. 考察

提案手法の汎化能力を評価するため、SI-BU データセットで学習したモデルを大阪データセットでテストした. その結果、変化検知の精度が著しく低下している(表2). 特に新築建物について、再現率の面で大幅に低下している. 一方、解体建物の精度は、過去の建物フットプリントが参照できるため比較的良好である. 図5は、大阪データセットでの提案手法の予測結果を示している. 提案手法はセマンティック・セグメンテーションに基づいており、密集した市街地では隣接する建物を正しく分割するのが難しい. また、新築建物の近くにある解体建物の検出も困難である.

表 2. Osaka データセットでの精度

クラス	適合率	再現率	F値
新築	0.44	0.17	0.25
解体	0.69	0.41	0.51
全体	0.48	0.21	0.29

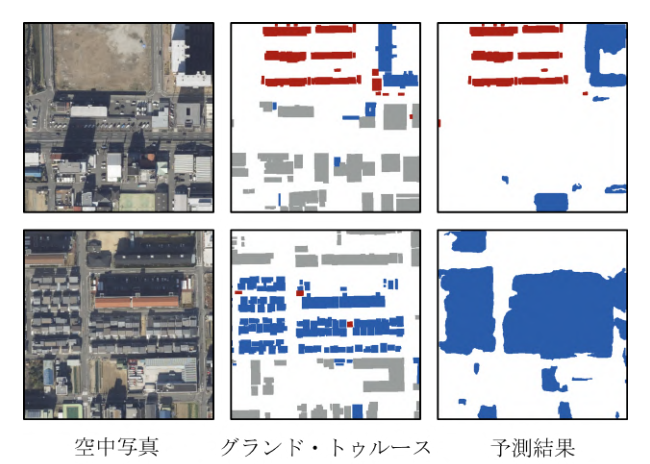


図 4. 大阪データセットの検出結果

5. 結論

本研究では、マルチタスク・フレームワークに基 づく新しい建物フットプリント更新手法を提案した. 従来の二時期の画像を用いた変化検知手法とは異な り、単眼空中写真と過去の建物フットプリントデー を組み合わせることで,解体と新築された建物を同 時に抽出する手法を提案した. この手法により、セ ンサーの角度や照度の変化など、二時期の画像間で 生じる擬似変化の影響を効果的に回避できる.また, DCN ベースの変換モジュールは、空中写真と過去の 建物フットプリントとの間にある幾何学的不整合を 緩和する役割を果たす. 同時に, 既存の建物データ のセマンティック情報を活用し、建築変化領域の特 定を支援する. SI-BU および大阪のデータセットを 用いて提案手法の性能を評価し, その有効性を検証 した結果, 提案手法は既存手法より精度が高く、建 物データベースの定期的な更新において幅広い応用 の可能性が示唆された. しかし、個々の建物、特に 新築建物の検出性能には依然として改善の余地があ り、さらに、広範囲の領域に対する手法の頑健性の 向上も今後の課題である.

謝辞

本研究成果 (の一部) は、データ活用社会創成プラットフォーム mdx を利用して得られたものである.

参考文献

笹川啓・田代ゆかり・石塚麻奈・柴田光博(2021) 二時期の空中写真と衛星画像による自動変化抽出手 法の開発.「国土地理院時報」,134,33-42.

Liao, C., Hu, H., Yuan, X., Li, H., Liu, C., Liu, C., ... & Zhu, Q. (2023). BCE-Net: Reliable building footprints change extraction based on historical map and up-to-date images using contrastive learning. *ISPRS Journal of Photogrammetry and Remote Sensing*, 201, 138-152.

Han, C., Wu, C., Guo, H., Hu, M., Li, J. & Chen, H. (2023). Change guiding network: Incorporating change prior to guide change detection in remote sensing imagery. IEEE Journal of Selected Topics in Applied Earth Observations and Remote Sensing, 99, 1-15.

小型 2 次元レーザスキャナと画像認識技術を用いた時空間解像度の高い 歩行軌跡の検出手法:大学病院の集中治療部におけるケーススタディ

沖 拓弥 *1·仙頭 佳起 *2·山中 理沙 *3·野坂 宜之 *2·野口 綾子 *2·海塩 渉 *4·若林 健二 *2

A Method for Detecting Walking Trajectories with High Spatiotemporal Resolution Using Compact 2D Laser Scanners and Image Recognition Technologies: A Case Study in the Intensive Care Unit of a University Hospital

Takuya OKI, Yoshiki SENTO, Risa YAMANAKA, Nobuyuki NOSAKA, Ayako NOGUCHI, Wataru UMISHIO, and Kenji WAKABAYASHI

Abstract: This study proposed a method to detect and track a person using image recognition technologies from 2D point cloud data acquired by compact laser scanners and to mechanically create walking trajectory data with high spatiotemporal resolution. The 2D laser scanner has a small measurement error and excellent privacy protection. A total of 18 scanner units were installed in the intensive care unit (ICU) of the T University Hospital for a three-week trial. Then, the proposed method was applied to the measurement data in a corridor and compared with the number of passersby counted visually. As a result, we demonstrated that walking trajectories can be extracted from 2D point cloud data mechanically, efficiently, and accurately.

Keywords: 動線分析(traffic flow analysis), レーザスキャナ(laser scanner), 画像認識(image recognition), 大学病院(university hospital), 集中治療部(intensive care unit)

1. はじめに

1.1. 研究の背景

病院の集中治療部 (ICU) は、大手術後や重篤な状況など濃密な医療とケアを要する患者を収容する場所である. 多領域にわたる専門性を有する様々な医療スタッフ (医師・歯科医師・看護師・薬剤師・管理栄養士・理学療法士・臨床工学技士など) や機器類が頻度高く出入りするほか、患者のベッドやストレッチャーの往来も多く、人やモノの動線は病院内でも特に複雑である. その結果、至る所で動線の交錯や滞留が発生し、医療スタッフの業務効率性に影響を及ぼしているとされるが、改善につながる定量的なエビデンスは乏しいのが現状である.

また昨今では、人工知能(AI)をベースとした画像認識技術が普及し、動画から自動抽出した移動軌跡データを用いた研究も盛んに行われてい

る. しかし病院では、患者のプライバシー保護等の理由により、研究目的で動画を撮影・活用することは容易でない.

1.2. 研究の目的

本研究では、T大学病院のICUをケーススタディとして、まず、周囲360度をリアルタイムに計測可能な小型2次元レーザスキャナ(以下、スキャナ)を用いて、ICU内における人やモノを2次元点群データとして計測する手法を構築する.そして、点群データを集計することで、人やモノの滞留状況の時間推移を可視化する.さらに、筆者らが提案した手法(沖ほか、2024)を大きく改善し、AIベースの画像認識技術を用いて人を検出・追跡することで、時空間解像度の高い移動軌跡データを機械的に作成する手法を構築する.

2. 2次元点群データの計測

^{*1} 正会員 東京科学大学 環境・社会理工学院 (Institute of Science Tokyo) 〒 152-8550 東京都目黒区大岡山 2-12-1 E-mail: oki.t.e60f@m.isct.ac.jp

^{*2} 非会員 東京科学大学病院 (Institute of Science Tokyo Hospital)

^{*3} 学生会員 東京科学大学 環境・社会理工学院 (Institute of Science Tokyo)

^{*4} 非会員 東京科学大学 環境・社会理工学院 (Institute of Science Tokyo)

D1-02 GISA 2024

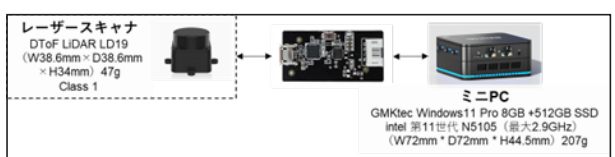


図1 計測ユニットの構成

2.1. 計測ユニット

計測ユニットの構成を図1に示す. 使用した2 スキャナ (LD19, youyeetoo 社製) は、ロボット の自己位置推定やマッピングなどに用いられるも ので、センサから発し対象物で反射した光が、セ ンサに戻るまでの時間をもとに、対象物までの距 離を計測する dToF (direct Time of Flight) 方式を 採用している. 計測誤差が極めて小さいだけで なく, プライバシー保護の観点からも優位性を有 し、レーザの安全性にも問題はない. 周囲 360 度 を計測可能で、仕様上の最大計測距離は12mで ある. 動画では夜間の消灯時における人検出は困 難だが、スキャナは時間帯によらず計測できる点 も長所である. 計測ユニットはスキャナ(幅・奥 行・高さがいずれも 4 cm 以下) とミニ PC からな り、小型化に努めることで業務や動線に及ぼす影 響を抑制している.

2.2. 設置方法

T大学病院のICUに計18台のユニットを設置した(図2).設置箇所の特性に応じて,①カウンターやパーテーション,テーブル等の上面,②作業デスクの裏面,③壁面に取り付けたL字状のプレート上面,のいずれかの方法でスキャナを設置し,耐震マットで確実に固定した(図3).通行者の検知しやすさや障害物による影響を勘案し,設置高さは床面から100cm前後とした.ミニPCはスキャナと電源コンセントの付近,かつ,ICU業務の妨げとならない場所に設置した.

2.3. 計測データ

2023年12月19日から2024年1月10日までの23日間計測を行った. 約0.1秒単位で取得される560点前後の点群情報を,10分ごとにCSVファイルとして出力した. 点群データには,ファイル作成日時からの経過時間[s](1 ms 単位),方位角[rad](1/1000 rad 単位),スキャナから観測点



図 2 T病院 ICU の平面図と計測ユニット (●で示す No. 1 ~ No. 18) の設置位置



図3 計測ユニットの設置例 (左上:カウンター上 [No. 1], 右上: 台の上 [No. 16], 左下:壁面 [No. 17], 右下:作業デスク裏面 「No. 3])

表1 計測データの例

_				
	elapsed	angle	distance	intensity
540	0.129	3.101	0.020	245
541	0.129	3.115	0.012	243
542	0.129	3.129	0.016	243
543	0.129	3.143	0.018	243
544	0.129	3.158	0.019	244
2556499	599.785	0.571	6.171	211
2556500	599.785	0.585	3.939	220
2556501	599.785	0.599	3.645	220
2556502	599.785	0.612	3.660	227
2556503	599.785	0.626	3.722	221

までの距離 [m] (1 mm 単位), 観測強度の情報 が含まれる (表 1).

1ファイル (約10分間) あたりのファイルサイズは約56MBで,スキャナ1台による1日分の出力CSVファイルは約8GBに上った.すなわち,18台で1日計144GB,計測期間(23日間)全体でのファイルサイズは1台で計約184GB,18台で約3.3TBという,膨大な計測データが得られたことになる.

3. 点群データを用いた滞留・移動の可視化

3.1. 滞留の可視化方法

前章の計測により得られた点群データをもとに、特定の時間単位で点群密度を集計した上で、位置合わせや重なりの調整を行い、ICUの全体平面図上に描画することにより、いつ、どこで、どの程度の滞留が生じているのかを直感的に把握することができる。

3.2. 滞留の可視化結果

2023年12月19日の1時間分(午前11時から 正午まで)を例に、ICU全体の点群密度を可視化 した結果を図4に示す。図面右上などに点群密度 が高い箇所が集中している様子が見てとれる。た だし、人とモノの区別や、滞留と移動の区別を、 この図で直接行うことは難しい。そのため、後述 の移動軌跡を用いた分析が必要となる。

3.3. 移動軌跡の抽出方法

以下の手順で、約0.1秒間隔の点群データから 移動軌跡を抽出する.

- ①点群データから、特定の時間単位(例えば10 分単位)の距離の統計情報に基づき、「壁」と 推定される点を除外する(図5). ここでは実 際の壁だけではなく、その時間帯に長時間同 じ場所にとどまり続けた人・モノも検出される ことに留意する必要がある.
- ②壁以外の点を約 0.1 秒間隔で画像として出力する(図 6 左).この時間間隔を長くすると,処理時間は短くなるが,後述の人物追跡の精度に悪影響を及ぼすため,時空間解像度の高い分析のためには 0.1 秒程度が適当である.

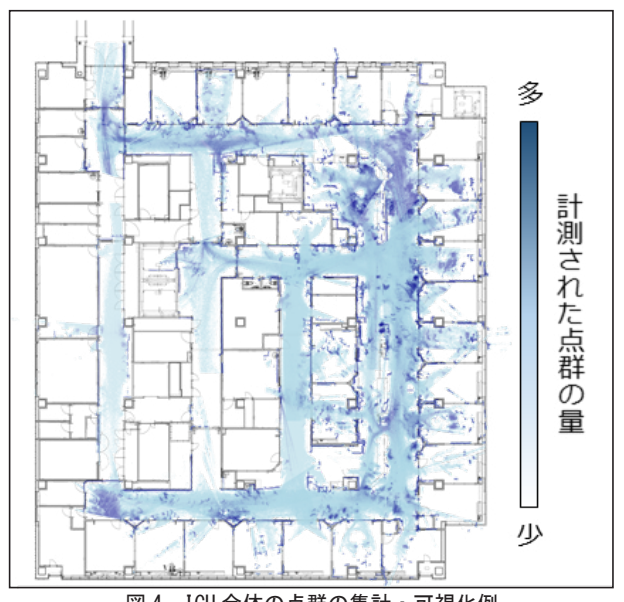


図4 ICU 全体の点群の集計・可視化例 (2023/12/19 午前11時~正午の1時間)

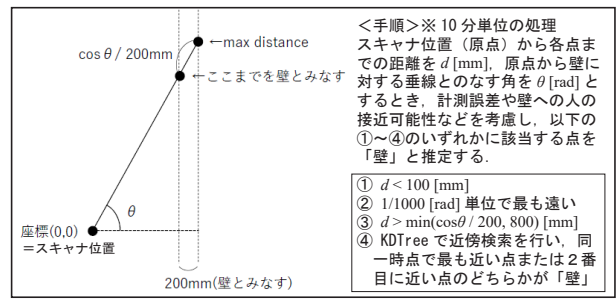


図5 点群からの「壁」の推定方法

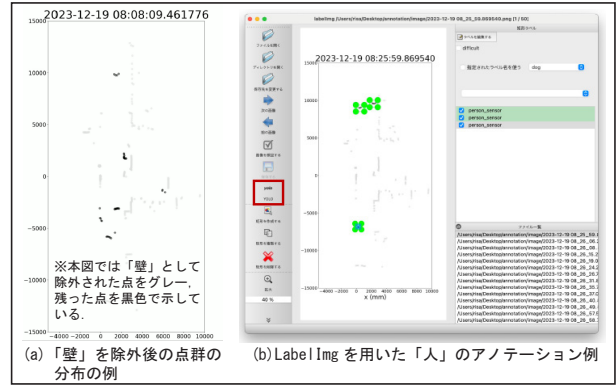


図6 「壁」を除外後の点群の分布とアノテーションの例

- ③②での出力画像から、人の数や位置の多様性を 考慮しながら、目視でアノテーション用画像を サンプリングする(本稿では 50 枚).
- ④抽出した画像全てに対して、人のアノテーションデータ(人と思われる位置を矩形で指定したデータ)を手作業で作成する(図 6 右). 本稿では LabelImg(Tzutalin, 2015)を使用してアノテーション作業を行った. クラスラベル数は 1 (「人」のみ)とした.

- ⑤ 作成したアノテーションデータを train: validation = 7:3 に分割し、既存の物体検出モ デル YOLO v8 (Jocher et al., 2023) をファイン チューニングする.
- ⑥ファインチューニングしたモデルを用いて,人 の検出を行うとともに,測定データからシス テムの状態を推定するアルゴリズムの一つで あるカルマンフィルタにより人の追跡(トラッ キング)を行う.

3.4. 移動軌跡の抽出結果

2023年12月19日の午前8時すぎを例に、特定の通路(図2のユニットNo.13を設置した通路)における移動軌跡の可視化例を図7に示す. 横並びでの歩行やすれ違い、回避行動などが抽出できている.

移動軌跡の抽出精度を検証するため、図7の縦軸+5,500[mm]のラインと-6,500[mm]のラインで、図の上下方向それぞれに移動する人数を目視で30分間(10分間×3)カウントし、提案手法で抽出した移動軌跡をもとにカウントした値と比較した。その結果、平均絶対パーセント誤差(MAPE:「誤差の絶対値/実際の値」の平均値)は約14%と良好であった。

軌跡の精度を直接検証することは現時点では難しいが、推定された壁の位置に基づく通路幅の誤差は数 cm 程度であることから、高精度な軌跡抽出が実現できているものと推察される.

4. まとめ

小型 2 次元レーザスキャナとミニ PC からなる 計測ユニット 18 台で取得した, T 病院 ICU にお ける点群データに基づき, 滞留・移動軌跡を高い 時空間解像度で可視化できることを示した.

今後、より多くのスキャナ・時点のデータを用いて、具体的な動線・行動分析を行う予定である. 提案手法を用いて医療スタッフの行動分析を行うことで、ICU業務に関する新たな知見が得られ、それをもとにスタッフの移動や人的・物的資源の配分を最適化することで、ひいては業務効率や患者ケアの質の向上につながることが期待される.

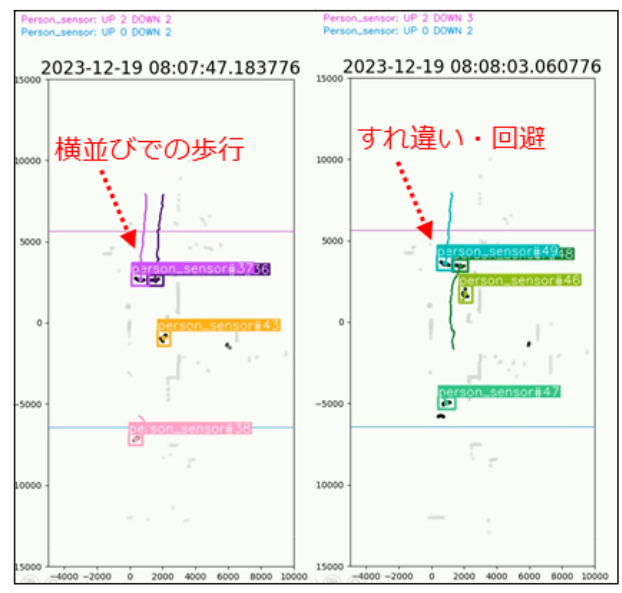


図 7 通路部分(図 2 のユニット No. 13 前) における人検出と 移動軌跡可視化の例(2023/12/19 午前 8 時すぎ)

表 2 通行人数カウント結果の比較(目視/提案手法)

時間	方法	5500mm ↑	5500mm↓	-6500mm↑	-6500mm↓
	目視(2人)	3	10	15 or 19	16 or 22
07:58:08~	目視平均	3	10	17	19
01.56.06~	提案手法	4	8	21	19
	絶対%誤差	33%	20%	24%	0%
	目視(2人)	5 or 7	13	16 or 17	18
08:05:08~	目視平均	6	13	16.5	18
00.05.00~	提案手法	6	11	17	21
	絶対%誤差	0%	15%	3%	17%
	目視(1人)	9	1	9	8
08:15:08~	提案手法	8	1	9	4
	絶対%誤差	11%	0%	0%	50%

斜槟

本研究の遂行にあたり、東京工業大学・東京医科歯科大学研究マッチングファンドの支援を頂きました。また、ICUでの計測に快くご協力頂きましたT大学病院のスタッフの皆さまに、この場を借りて謝意を表します。計測準備や移動軌跡の可視化方法の検討、精度検証にあたっては、東京工業大学沖研究室の学生各位(増喜浩太郎・大塚千聡・グエンホンタイ・山本さつき・LIU Yuan・小泉兵悟・小松なのか・藤田晋太朗・山田拓弥・橋本蒼真・三田村和喜)に協力いただいたことに感謝いたします。

参考文献

沖拓弥, 仙頭佳起, 野坂宜之, 野口綾子, 海塩渉, 若林健二 (2024) 大学病院の集中治療部におけるレーザスキャナを用いた行動 分析の試み, 2024 年度人工知能学会全国大会(第38回).

Tzutalin (2015) LabelImg. https://github.com/tzutalin/labelImg Jocher, G., Chaurasia, A., & Qiu, J. (2023) Ultralytics YOLO (Version 8.0.0) [Computer software]. https://github.com/ultralytics/ultralytics

AI カメラによる歩行者断面交通量データを用いた大規模商業施設来客者の ゾーン別滞留時間分布推定

渡部隼人*·大佛俊泰**·金子弘幸***·福井三穂****

Estimation of Zone-Specific Dwell Time Distribution of Visitors in Large-Scale Commercial Facilities Using AI Camera-Based Pedestrian Cross-Section Traffic Volume Data

Hayato WATANABE, Toshihiro OSARAGI, Hiroyuki KANEKO and Miho FUKUI

Abstract: Understanding the relationship between the spatial characteristics of commercial facilities and visitor behavior is essential for designing spaces that enhance comfort and encourage purchasing. In this paper, we first collect data on pedestrian traffic in each direction at five-minute intervals using AI cameras placed throughout the facilities, and develop preprocessing methods to ensure data accuracy. We then segment the facilities into zones based on camera locations and construct a statistical model to estimate dwell time distributions for each zone and arrival time. Finally, we apply this model to two large commercial facilities and examine the characteristics of dwell time distributions by arrival times and zones.

Keywords: 大規模商業施設 (large commercial facility), 滞留時間分布 (dwell time distribution), AI カメラ (AI camera), 常時計測 (continuous masurement), 歩行者断面交通量データ (pedestrian cross-section traffic volume data)

1. はじめに

大規模ショッピングモールなどの商業施設における空間特性と来館者の行動特性の関係を把握することは、快適な滞留・購買空間を設計するための基礎情報として重要である。そのため、来館者の行動特性を知るうえで重要な滞留時間分布を把握する調査研究は古くから多く試みられてきた。

本研究の最終的な目標は、滞留時間が長くなる要素(魅力度)は何かを分析し、大規模商業施設の計画案に供する情報を獲得することにある。そのための基礎分析として本稿では、2つの大規模商業施設をそれぞれ複数のゾーンに分割し、ゾーンごとに来館時刻別の滞留時間分布を推定し、その特性について考察する。具体的には、まず、施設内に密に配置されたAIカメラにより5分単位

の方向別通過者数を取得し、観測誤差を調整する ための前処理を行う.次に、AIカメラの観測地 点に基づき施設を複数ゾーンに分割し、来館時刻 別・ゾーン別の滞留時間分布を推定する統計モデ ルを構築する.最後に、施設ごとに推定した来館 時刻別・ゾーン別の滞留時間分布をもとに、それ ぞれの滞留時間特性について考察する.

2. 歩行者断面交通量データ

2.1 歩行者断面交通量データの概要

歩行者断面交通量データの概要を図 1(a) に示してある. 施設 A では計 67 台, 施設 B では計 37 台の AI カメラが設置され, 各観測地点における方向別通過者数が 5 分単位で常時計測されている.

* 学生会員 東京科学大学環境・社会理工学院 (Institute of Science Tokyo)

〒 152-8550 東京都目黒区大岡山 2-12-1 E-mail: watanabe.h.18ee@m.isct.ac.jp

** 正会員 東京科学大学環境・社会理工学院(Institute of Science Tokyo)

*** 正会員 鹿島建設 技術研究所 (Kajima Technical Research Institute, Kajima Corporation)

**** 非会員 鹿島建設 技術研究所 (Kajima Technical Research Institute, Kajima Corporation)

2.2 歩行者断面交通量データの前処理

AIカメラの観測地点に基づき複数のゾーンを 設定し(図1(b)(c)), 商業施設内におけるゾーン ごとの滞留特性を分析する. 各ゾーンは複数の観 測地点により他のゾーンと空間的に分離されてい る. なお, 両施設ともにある Left ゾーン, Center ゾーン、Right ゾーンをメインゾーンとし、その 他のゾーンを小ゾーンとする。以下では, ゾーン 別の滞留時間特性について検討する際,来館者を 着目ゾーンへの流入者・流出者と表現する. ゾ ーンiからjへの累計通過者数を X_{ii} とすると, ゾ $- \sum_{k \in \mathcal{L}} \mathcal{L}_{k} \wedge \mathcal{L$ 累計流出者数 $\Sigma_{l-k}X_{k_l}$ は一致するべきであるが、計 測誤差 e_{ii} の影響により一致しない。そこで、図 2(c) に示す制約条件のもと、線形計画法を用いて 誤差率(計測誤差 e; が累計通過者数 X; に占める 割合)の合計Rが最小となる計測誤差 e_{ii} を推定し、 計測誤差 e_{ii} を各観測地点の単位時間ごとの観測 値の大きさに応じて案分することで, 累計通過者 数の真値 X_{ii}^* を推定する(図 2(a)(b)).

2.3 歩行者断面交通量データから得られる基礎情報

各施設における来館者数,退館者数,および,滞留者数を図3に示してある.来館者数はいずれの施設においても,多くの店舗が営業を開始する10時に最も多くなる(図3(a)).退館者数は施設Aは夕食時(18時頃)と閉店直前(21時頃)にピークを示す一方で,施設Bは時刻に依存する大きなピークは見られない.(図3(a)).また,滞留者数は14時から15時にピークを示すことがわかる(図3(a)).

次に、各観測地点における累計通過者数をみると、累計通過者数は1階から3階にかけて少なくなっていることがわかる(図4). さらに、施設全体で右回りの特徴がみられ、牧野ほか(2021)の研究と同様のことが示されている. この行動特性は来館者が商品や店舗を視認しやすい購買空間の設計に応用できる可能性がある.

3. 滞留時間分布の推定

3.1 滞留時間分布の推定手法

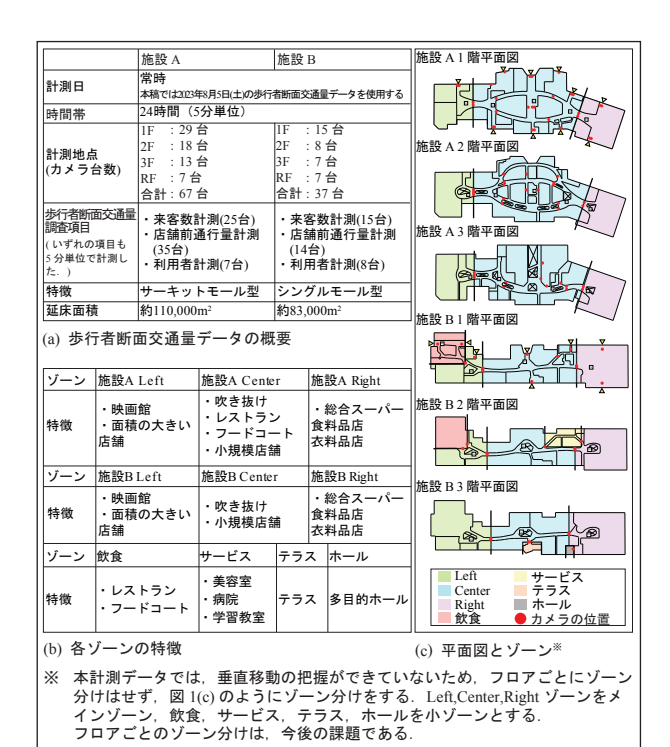


図1 歩行者断面交通量データ概要

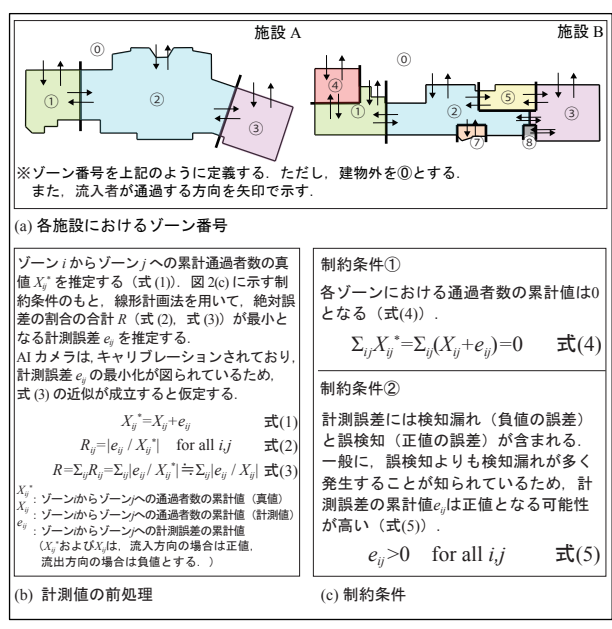


図2 計測誤差の補正方法

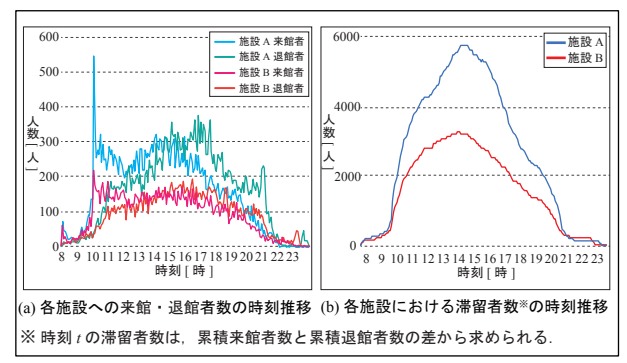


図3 歩行者断面交通量データから得られる基礎情報

歩行者断面交通量データから, 任意の時刻にお けるゾーン別滞留者数 (どこに何人いるか) は得 られるものの、各ゾーンにおける滞留者の滞留時 間分布(何分程度そのゾーンに滞留するか)は直 接得ることはできない.

本稿では、岡田(1975)の著書を参考に、アー ラン分布の密度関数を用いて流入時刻ごとのゾー ン別滞留時間分布を推定する(図 5(a)). ここでは, 時刻 t における流入者数 A'm のみ既知であると考 える. まず, アーラン分布の密度関数 b(t,s) に基 づいて (図 5(a), 式 (6)), 流入時刻 s の流入者が x時間以上滯留する確率をB(x,s)と記述する(図 5(a), 式(7)). これをもとに, 流入時刻 s の流入 者が時刻 t にも滞留している人数を記述し、流入 時刻sが0からtまで足し合わせることで、時刻 tにおける滞留者数 \hat{A}_{stay} を推定する(図 5(a), 式(8)).

観測データを用いて、時刻 t における滞留者数の 計測値 A_{stay}^{t} と推定値 \hat{A}_{stay}^{t} の絶対誤差 F^{t} が最小となる パラメータr[↑]を勾配法を用いて推定する(図 5(b)). 3.2 推定結果

時刻別の滞留者数Â_{stav}, 平均滞留時間 ˆr, および, 滞留時間分布の推定結果を図6に示してある.滞 留者数の推定誤差は最大でも1.3%であり、良好 な精度で推定できている (図 6(a) ①).

まず,施設別の推定結果をみると,両施設とも 昼食時(12時頃)や夕食時(18時頃)の平均滞 留時間は長い傾向が見られる (図 6(b)(c) ①). ま た,施設Aの平均滞留時間は施設Bよりも長い. 施設 A の方が規模が大きく, サーキットモール型 が採用されているため施設内の回遊性が高く、ま た,施設中央部に休憩スペースとなる大きな吹き 抜け空間があるなどの空間特性が影響している可 能性がある.

次に, ゾーン別の推定結果をみると, 平均滞 留時間は流入時刻によってばらつきはあるもの の、メインゾーンでは30分から1時間程度(図 6(b)), 小ゾーンでは10分から40分程度である ことがわかる (図 7(b)). また, Center ゾーンの 平均滞留時間は、施設 A では他のゾーンよりも 長く, 施設 B では短い傾向がある (図 6(b)). 施

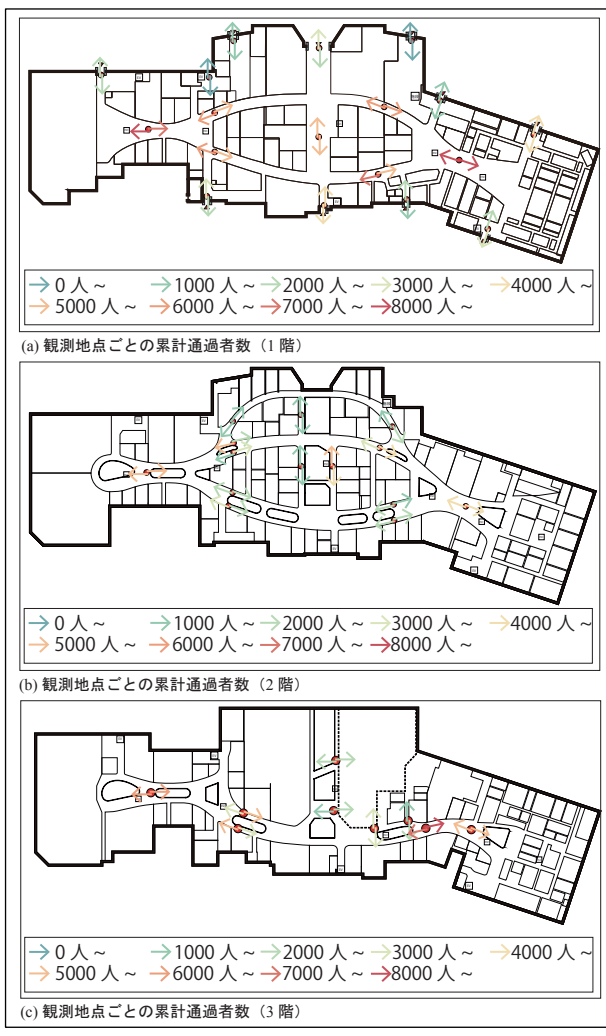


図4 施設Aの各観測地点における累計通過者数

式(6)

 $e^{-\mu^s kt} t^{k-l}$

b(ts)・アーラン分布の密度関数※

B(x,s): 流入時刻sの流入者がx時間以上

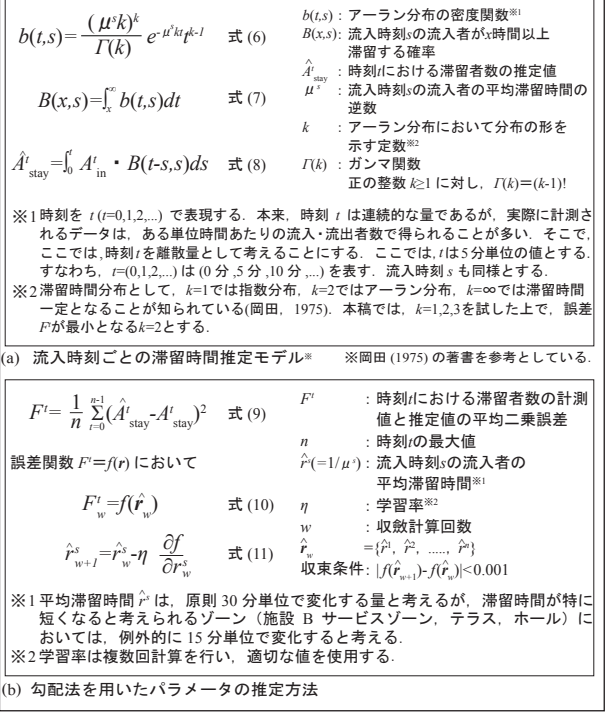


図 5 滞留時間分布の推定方法

設 Aの Center ゾーンは相対的に規模が大きく、また、吹き抜け空間のある休憩スペースもあることから平均滞留時間が長くなっていると考えられる。一方、施設 Bの Center ゾーンには複数のゾーンが接続しており、Left ゾーンと Right ゾーンの間を移動する来館者が占める割合が高いため、滞留時間は短くなっていると考えられる。また、施設 Aの Center ゾーンや施設 Bの飲食ゾーンでは、昼食時(12 時頃)に平均滞留時間が特に長くなる傾向が確認できる(図 6(c)②、図 7(b)(c)①)・イベント利用が主であるホールでは、流入時刻によって滞留時間が大きく異なり、イベントに合わせた滞留行動の傾向が見られる(図 7(c)②)・

4. おわりに

大規模商業施設内において常時計測されている 流入者数・流出者数に関するデータから来館時刻 別・ゾーン別に滞留時間分布を推定する手法を構 築し,施設によって異なる来館時刻別・ゾーン別 の滞留時間の特性を明らかにした。各ゾーンの特 徴を踏まえた,建築空間と滞留時間の関係の分析 は今後の課題である。

斜棕

イオンモール株式会社の関係者の皆様にご理解 とご協力を賜りました。ここに記して謝意を表し ます.また,本論文の執筆において、東京科学大 学岸本まき助教には多大なご助言と添削をいただ き、心より感謝申し上げます。

本研究は,東京科学大学研究倫理審査会の承認を 受けて実施したものである(承認番号:第22484号)。

参考文献

渡部隼人・大佛俊泰・岸本まき・金子弘幸・陳紹華・ 岩崎庸浩(2024)常時計測データを用いた大規模 商業施設における来館者の滞留時間分布の推定. 「日本建築学会大会学術講演梗概集」, 6, 451-452. 岡田光正(1975)『建築計画学12 施設規模』, 丸善株式会社, 121-139.

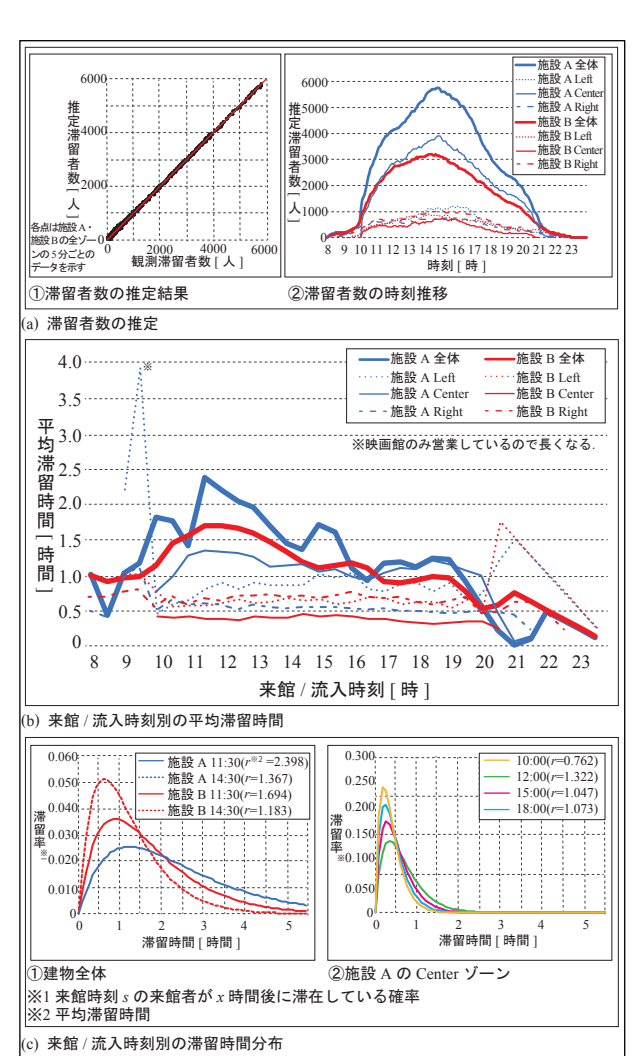


図 6 滞留時間分布の推定結果

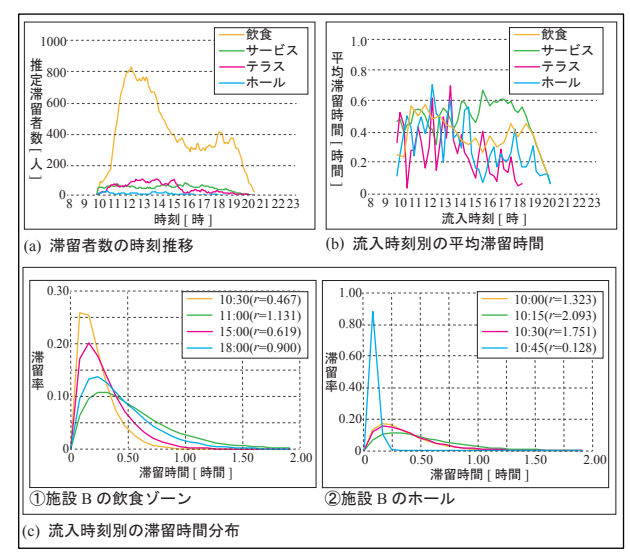


図 7 施設 B の小ゾーンの滞留時間分布の推定結果

藤井健・大口敬 (2021)

大規模イベント時における歩行者の通行方法と 安全な空間づくり「土木学会論文集 D3」77(3), 174-183

オープンアクセス衛星データを利用した 建物検出精度向上のための立地特性分類手法の考察

荻野 光司*・大佛 俊泰**

Examination of the Building Location Characteristics for Improving the Building Detection Accuracy Using Open-Access Satellite Data

Koji Ogino*, Toshihiro Osaragi**

Abstract Detecting buildings from remote-sensing data usually requires high-resolution satellite images, which are expensive and limited in access. Open-access satellite data providing global coverage every few days are available; however, their low resolution makes accurate building detection difficult. In this paper, we propose to construct building-detection models tailored to the specific characteristics of building locations, such as the area and density of buildings. We believe that this approach can improve detection accuracy compared to a single model that does not consider these characteristics. We classify the area using two methods: one based on population, NDVI, nighttime light data and distance to the coastline, and the other using a Vision Transformer. Next, we construct building-detection models for each building location pattern detected by the two classification models. Finally, we discuss effective approaches for classifying building location characteristics to improve the building-detection accuracy.

Keywords: 建物検出 (building detection), 建物立地特性 (building location characteristics), ロジスティック回帰 (Logistic Regression), Vision Transformer, Sentinel-2

1. はじめに

衛星画像から高精度に建物を検出するためには、 高解像度の衛星データが必要であるが、高価なため 一般には入手が難しい. 代替データとして、全世界 を数日毎に観測しているオープンアクセスの衛星デ ータを用いた建物検出に期待が高まっているが、解 像度が低いため、精度よく建物を検出することは難 しく、超解像等による解像度の向上を行う必要があ る(図 1(a)).

本稿では、建物の大きさや密集の程度(立地特性) 毎に建物検出モデルを構築することで、精度向上が 図れるのではないかと考えている。そこで、まず立 地特性(棟数の多少、大規模建築物の有無)を分類 する手法として、人口や植生指数、夜間光量、海岸 線までの距離による分類手法と深層学習の画像分類 手法を検討する(図 1(b))。次に、分類したエリア毎 に建物検出モデルを構築し(図 1(c))、オープンアク セスの衛星データから建物を検出する際の効果的な 立地特性の分類手法について考察する。

2. 超解像モデル

2.1 使用する衛星データと超解像モデルの概要

欧州連合とヨーロッパ宇宙機関の地球観測プログラムによる地球観測衛星である Sentinel-2 を使用した. Sentinel-2 の回帰は 10 日であるが, 2 機体制であるため, 5 日に 1 回程度の頻度で同一地点を可視光,近赤外を含む 12 のバンド(最大 10m 解像度)で観測している. 10m の解像度で建物検出を行うことは難しいため,超解像モデルによる高解像度化を行った. 本稿では,建物検出で高い精度が報告され

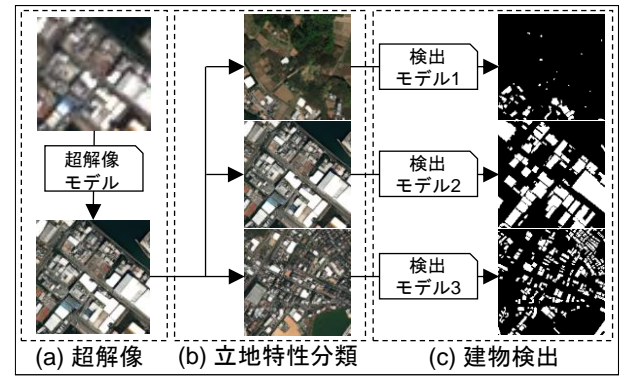


図1 建物検出のフレームワーク

- * 学生会員 東京科学大学 環境・社会理工学院 (Institute of Science Tokyo)
 - 〒152-8550 東京都目黒区大岡山 2-12-1 M4-1 ogino.k.275c@m.isct.ac.jp
- ** 正会員 東京科学大学 環境・社会理工学院 (Institute of Science Tokyo)

ている Real-ESRGAN を採用した (Chen et al., 2023). 2.2 超解像ファインチューニングの結果

Mapbox から約 1.8m 解像度の都市部・農村部の衛星画像を取得し、Lanczos 法により、画素数を 4分の1 にダウンサンプリングすることにより、高解像度と低解像度のデータセットを 2,548 個作成した(図2(1)). このデータセットを用いて、公開されているReal-ESRGAN の学習済みモデル(Wang et al., 2021)のファインチューニングを行った.

東京都の衛星画像を同じく Mapbox から取得し、125 個のテストデータによる精度検証を行った. 公開モデルとチューニングモデルによる超解像画像と Mapbox から取得した高解像画像を用いて、画像類似度を測る MSSIM を計算した結果、チューニングモデルによる画像の方が、取得した高解像画像に類似していることが確認できる(図 2(2)). 次に、Sentinel-2の10m 解像度の衛星画像を2.5m 解像度に超解像した. 公開モデルによる超解像後の画像(図2(3)(b))では、小さな建物を視認することはできないが、チューニングモデルによる画像(図 2(3)(c))では、小さな建物まで確認することができる.

3. 建物立地特性の分類モデル

Chen ほか (2023) は、1 つの建物検出モデルを用いて、対象地域全域の検出結果を報告した.しかし、建物検出の精度は、建物の大きさや密集の程度(立地特性)に依存している可能性がある.そこで、まず2章で構築した超解像モデルを Sentinel-2 に適用し、解像度 2.5m の衛星画像を得た.続いて、建物密度が低い、あるいは大きな建物ほど検出しやすいと考え、超解像後の衛星画像を目視で観察し、棟数が少ない、多い、大規模建築物を含む、の3 つに分類したデータセットを作成した(表1).

3.1 ロジスティック回帰による分類モデルの概要

事例 \mathbf{x} がクラス C_j に分類される条件付き確率を算出し(式 (3.1)),全訓練データ・全クラスの交差エントロピー誤差Eを算出し(式 (3.2)),勾配降下法により重み行列 \mathbf{w} を求めた(式 (3.3)).ハイパーパラメータである学習率は,多数の学習率による勾配降下法を行い,検証データにおける精度の高い値を

(1) チューニングのための衛星画像のデータセット		
データ入手元 Mapbox Satellite, zoom level 15		
データ数 2,548		

対象地域 さいたま市、日高市、毛呂山町、越生町、 千葉市、市原市、横浜市、厚木市 Mapboxから取得した画像をLanczos法に

低解像度への変換方法 Mapboxから取得した画像をLanczos法により、4分の1の画素数に変換

Ш			$(2\mu_{\nu}\mu_{\nu} + C_1)(2\sigma_{\nu\nu} + C_2)$		
		MSSIM	$SSIM(x,y) = \frac{(2\mu_x \mu_y + C_1)(2\sigma_{xy} + C_2)}{(\mu_x^2 + \mu_y^2 + C_1)(\sigma_x^2 + \sigma_y^2 + C_2)}$		
	公開モデル	0.478	式 (2.1)		
	チューニングモデル	0.493	$MSSIM(x, y) = \frac{1}{M} \sum_{i=1}^{M} SSIM(x_i, y_i) $ 式 (2.2)		
	μ :画素値の平均値、 σ_{xy} :共分散、 σ :画素値の標準偏差				

(2) 画像類似度指標による比較

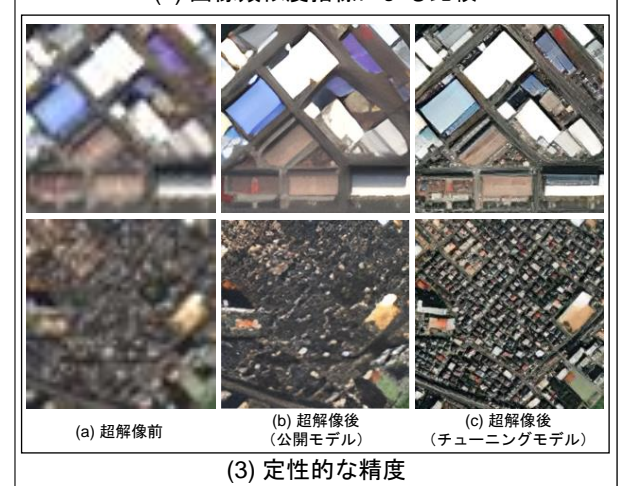


図2 超解像モデルのチューニング結果 表1 立地特性の分類モデルのデータセット数

	-	データセット数	女		
ラベル名	学習用	学習用 検証用 テスト用			
ラベルO (棟数少ない)	2,001	521	1,088		
ラベル1 (大規模建物)	150	46	84	200 x 200ピクセル	
ラベル2 (棟数多い)	2,472	589	1,305		

: 特徴量ベクトル $\exp(\boldsymbol{W}_{j}\boldsymbol{x})$ $P(\widehat{y}_j = C_j | \mathbf{x}) = \frac{\sum_{k=1}^{K} \exp(\mathbf{W}_k \mathbf{x})}{\sum_{k=1}^{K} \exp(\mathbf{W}_k \mathbf{x})}$ 式 (3.1) W:重み行列 K: クラス数 n : 学習データ数 $E = -\sum_{i=1}^{n} \sum_{k=1}^{K} y_{ik} \ln \widehat{y_{ik}}$ 式 (3.2) y : 正解ラベル $\boldsymbol{W}^{(t+1)} = \boldsymbol{W}^t - \eta_t \nabla E(W^t)$ 式 (3.3) η : 学習率 IR: 近赤外域の反射率 NDVI =式 (3.4) R:可視域赤の反射率 $\overline{IR + R}$ $\frac{\sum_{j=1}^m \boldsymbol{w}_{ij} x_j}{\sum_{j=1}^m \boldsymbol{w}_{ij}}$ m:全メッシュ数 式 (3.5) w:空間的隣接行列

変数	説明	データ入手元
人口	2020年時点	WorldPop
NDVI (式 (3.4))	2022年1月、4月、9月、 10月の平均値	Sentinel-2A, 2B
夜間光量	2022年の平均値	Earth Observation Group
海岸線までの距離	ダミー変数	国土数値情報 海岸線データ(2006年)

図3 ロジスティクス回帰の定式化・変数

採用した.

建物データが整備されていない地域についても対

応可能とするため、容易に入手可能な変数x(人口、NDVI、夜間光量、海岸線までの距離)を用いて、ラベル付けした結果を推定する多クラス分類モデルを構築した。この内、海岸線までの距離以外の変数については、空間的連担性のある工業地帯等を表現するために、式(3.5)に示すメッシュiとjの空間的隣接関係を表す行列wをiとjが隣接する場合は 1、それ以外は 0 とした。隣接行列w(i)とメッシュjの変数x(j)を掛け合わせ、w(j)の総数で除すことにより、最大隣接8メッシュの属性値の平均値を算出した。

3.2 Vision Transformer による分類モデルの概要

Vision Transformer (以下, ViT とする) は、画像を固定サイズのパッチに分割し、これらパッチを位置情報を付したトークンとして扱うことで画像認識を行うモデルである。画像認識を行う際に一般的であった畳み込み処理を行う必要がないことが従来の手法と異なる特徴である。本稿では、事前学習済みのViT モデル(vit_base_patch16_224)を用い、表1の学習用・検証用データセットを用いて、ファインチューニングを行った。

3.3 分類モデルの推定結果

図4にロジスティック回帰及びViTによる立地特性分類の混合行列とF値を示す. ラベル0と2は,両分類モデルで高い推定精度が確認できるが,いずれもViTによる精度の方が高い. ラベル1は,ロジスティック回帰によるF値は0.333と低いが,ViTによるF値は0.482であり,大幅に向上していることが確認できる.ロジスティック回帰による分類よりも画像認識による分類の方が,すべてのラベルで高い精度で立地特性を分類できることが分かる.

4. 建物立地特性を考慮した建物検出モデル

4.1 建物検出モデルの概要

表1のテスト用データセットを各分類モデルで分類した結果,表2(1)の内訳のとおりとなった.ラベル1のデータ数は著しく少なく,建物検出モデルを学習させるには不十分な数であるため,回転,水平・垂直移動,シアー変換,ズーム,左右反転を施し,データ数を増やした(表2(2)).なお,表2(2)のデータの内,8割を学習用,2割を検証用とした.また,

(1) ロジスティック回帰による立地特性分類の精度					
正解推定	ラベル0	ラベル1	ラベル2	F値	
ラベル0(棟数少ない)	1,012	13	63	0.904	
ラベル1(大規模建物)	20	21	43	0.333	
ラベル2 (棟数多い) 118 8 1,179 0.910					
(2) ViTによる立地特性分類の精度					

正解推定	ラベル0	ラベル1	ラベル2	F値
ラベル0 (棟数少ない)	1,022	4	62	0.942
ラベル1(大規模建物)	11	34	39	0.482
ラベル2(棟数多い)	50	19	1,236	0.936

図4 立地特性分類の精度(混合行列・F値) 表2 建物検出モデルのデータセット数

ラベル名	(1) 元データ数	(2) 画像編集後の数	(3) テスト用
ViT ラベル0	1,027	1,500	56
ViT ラベル1	57	180	50
ViT ラベル2	1,270	1,500	67
ロジスティック ラベル1	1,092	1,500	58
ロジスティック ラベル2	42	180	50
ロジスティック ラベル3	1,220	1,500	65
ラベル分類なし	1,282	1,500	68

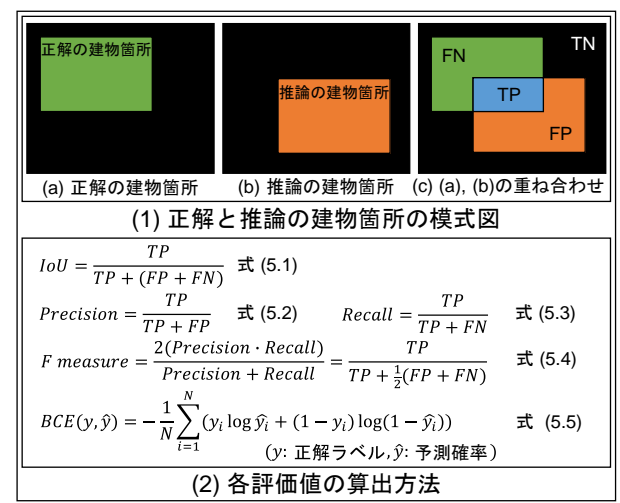


図5 各評価指標の算出方法

分類手法による検出精度への影響を測るために、データ数の少ないラベル1を除いて、データ数を1,500に統一した.

正解となる建物位置のマスク画像は、国土地理院の基盤地図情報を基に作成した。検出モデルは、建物位置をピクセル単位で推定するセマンティックセグメンテーションモデル U-Net を使用し、バックボーンには ResNet152 を用いた. 学習時の損失関数は、Jaccard Loss(以下、JLとする)、交差エントロピー誤差(以下、BCEとする)、及びJLと BCEの和の計3つを設定し(図5)、分類手法の違いに加えて、損失関数の違いによる検出精度の影響も検証した.

4.2 建物検出モデルの推定結果

分類手法別・損失関数別の建物検出の精度(F値)

を図 6 に示す. ラベル 1 の ViT で分類した結果に基づく検出精度が最も高く、F 値は 0.814 であり、大規模な建物は、良好な精度で検出できることが分かる.

ラベル 0 の検出精度は高くないが、これは棟数が 少なくかつ建物も小さいため、式(5.1)の分子 TP (建 物箇所を建物と推定した数)が小さいことが起因し ている.ラベル 0 と 2 では、分類手法の違いによる 検出精度は、設定した損失関数により異なっている.

立地特性を分類しないで、1 つの建物検出モデルを構築した場合は、分類結果に基づいたモデルのラベル2を下回る程度の精度である.このことから、立地特性毎に建物検出モデルを構築することの優位性を確認できる.

ViT の分類結果に基づいて学習させた建物検出モデルによる検出結果を図7に示す. ラベル1の大規模な建物は、良好に建物を検出できている.

ラベル 0 と 2 について、損失関数を JL とした場合、小さな建物は複数棟がまとまって検出されてしまう(図 7(1)(c),(3)(c)). これは、IoU は、TN (非建物箇所を非建物と推定した数)を考慮した関数でないことが関係している. 一方で、BCE は、建物箇所と非建物箇所をバランスよく評価する関数であるため、建物か否か明確でないピクセルはグレーとなりやすい(図 7(1)(d),(2)(d),(3)(d)). これにより、JL より建物が分割されていることが確認でき、小さな建物を検出する際には、BCE を加味した損失関数の設定が望ましいと考えられる.

5. まとめ

立地特性の分類について、容易に入手可能な変数を用いたロジスティック回帰分類よりも ViT による画像認識の方が、高い精度で分類できることを確認した。特に、大規模建築物を有する地域の分類において、ViT による分類は有効であることを確認した。

建物検出モデルについて、分類手法及び損失関数の違いによる検出精度への影響度合いを検証した. その結果、立地特性毎に建物検出モデルを構築することにより、ラベル1で非常に高い精度を確認した. また、対象地域の建物立地特性に応じて、適切な損失関数を設定することの必要性について言及した.

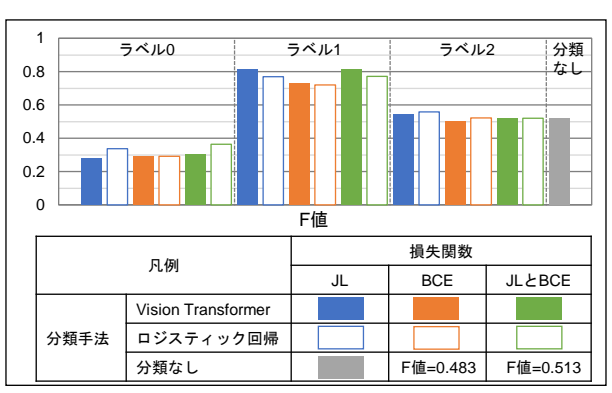


図6 分類手法別・損失関数別の建物検出精度

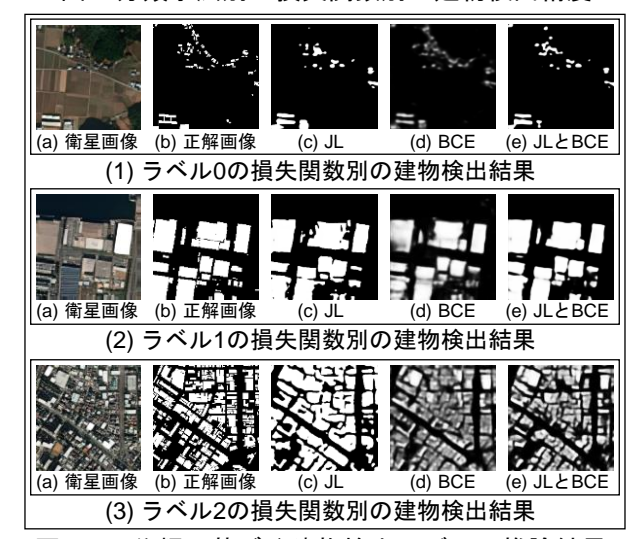


図7 ViT分類に基づく建物検出モデルの推論結果

謝辞

本研究は、日本科学協会の笹川科学研究助成による助成を受けたものである.本研究の遂行にあたり、 適宜助言を頂いた東京科学大学環境・社会理工学院 松岡 昌志教授に深謝致します.

参考文献

Chen, S., Ogawa, Y., Zhao, C. & Sekimoto, Y. (2023)
Large-scale individual building extraction from opensource satellite imagery via super-resolution-based
instance segmentation approach, *ISPRS Journal of Photogrammetry and Remote Sensing*, **195**, pp. 129-152.
Wang, X., Xie, L., Dong, C. & Shan, Y. (2021) RealESRGAN: Training Real-World Blind Super-Resolution
With Pure Synthetic Data, *Proceedings of the IEEE/CVF International Conference on Computer Vision (ICCV) Workshops*, pp. 1905-1914.

書き手はどこを訪れたか? - 言語モデルで訪問行動を読み取る -

大友寬之*·大内啓樹**·東山翔平***·寺西裕紀**** 山本和太郎*****·進藤裕之*****·渡辺太郎******

Where did the Writer Visit? - Understanding Human Visit Behavior through Language Models -

Hiroyuki Otomo*, Hiroki Ouchi**, Shohei Higashiyama***, Hiroki Teranishi****, Aitaro Yamamoto*****, Hiroyuki Shindo*****, Taro Watanabe******

Abstract: In this work, we address Visit Status Prediction (VSP) by using language models (LMs). The goal of VSP is to identify locations that the writer of each travelogue visited by assigning a visit status for each location mentioned in the travelogue. For example, consider the sentence: "Arrived at Kintetsu Nara Station!" It is possible to judge that the writer visited the station from the description of the real experience. In contrast, consider the sentence: "JR Nara Station is a little far from Kintetsu Nara Station." This factual statement does not indicate whether the writer visited these stations or not. We investigate how accurately LMs can recognize such visit status. Our experiments demonstrate that LMs achieve around 80% accuracy. Our analysis also reveals that even in cases where the writers did not visit, the LMs tend to mistakenly interpret them as visited, which suggests the points for future improvement.

Keywords: 訪問行動 (Visit Behavior), 旅行行動 (Traveling Behavior), 旅行記 (Travelogue), 言語モデル (Language Models), 自然言語処理 (Natural Language Processing)

1. はじめに

人間がある場所を訪れ、そこで行ったこと、思ったことなど、雑多な経験を綴った文章がウェブ上に蓄積されている。こうした膨大な情報を計算機によって自動で整理・構造化することで、多様な応用のための資源として新たな価値が付加される.

本研究では、場所の経験を綴った記述を自動抽出する問題に取り組む.特に、書き手の訪問行動を読み解き、場所に対する訪問状態(訪れた、訪れていない、訪れる予定、など)を判定するタスクに取り組む.たとえば、「奈良公園にはたくさんの鹿がいました」という記述は、「奈良公園」を書き手が実際に訪れたと解釈できる.一方で、「奈良公園は人気の観光スポットです」という記述は、一般的な事実を表しており、書き手の訪問を必ずしも意味しない.

このような訪問行動に関する文脈上の解釈・判断を,機械学習モデルはどの程度正確に行えるだろうか?この問いを本研究では探求する. 具体的には、言語モデルを対象としてその正確性を調査する. 昨今の言語モデルは,種々の文章理解タスクにおいて高い正確性を示している. このような背景を鑑み、言語モデルの中でも代表的 Masked Language Model (MLM)と Causal Language Model (CLM)を対象とし、訪問行動認識の正確性を調査する. 実験の結果、上記2種類の言語モデルが8割程度の正解率を記録した. また、モデルの予測エラーの分析を通じて、書き手が「訪れていない」場合でも、言語モデルが誤って「訪れた」と解釈してしまうケースも比較的多く見られ、今後のの改善の余地について明らかにすることができた.

^{*} 非会員 株式会社サイバーエージェント (CyberAgent, Inc.)

^{**} 正会員 奈良先端科学技術大学院大学・先端科学研究科 (Nara Institute of Science and Technology) 〒630-0101 奈良県生駒市高山町8916-5 hiroki.ouchi@is.naist.jp

^{***} 非会員 情報通信研究機構 (National Institute of Information and Communications Technology)

^{****} 非会員 理化学研究所・革新知能統合研究センター (RIKEN AIP)

^{*****} 非会員 株式会社 NTT ドコモ (NTT DOCOMO, Inc.)

^{*****} 非会員 MatBrain 株式会社 (MatBrain, Inc.)

^{******} 非会員 奈良先端科学技術大学院大学·先端科学研究科 (Nara Institute of Science and Technology)

2. 問題設定

2.1. データセット

「地球の歩き方旅行記データセット」」(株式会社地球の歩き方、2022; Ouchi et al., 2023)に場所参照表現等のアノテーションを施した ATD-MCL² (Arukikata Travelogue Dataset with Geographic Entity Mention, Coreference, and Link Annotation) (Higashiyama et al., 2024)に対して、訪問状態ラベルを付与したデータセット(山本他、2024)を使用する.

データセットに付与されている6種類の訪問状態ラベルを表1に示す.最も基本的なラベル Visitは、書き手が言及する場所(表中の例だと「<u>赤岳山頂</u>」)を訪れたことが読み取れることを意味する.他のラベルは、書き手が当該旅行中にその場所を訪れたことが読み取れない場合に付与される.たとえばPlanToVisitは、当該旅行中に訪問予定であることが言及されている場合に付与される.

データセットの記述統計を表 2 に示す.表中の Vis は Visit, Plan は PlanToVisit, Past は Visit-Past, Fut は Visit-Future, UN は UnkOrNotVisitにそれぞれ該当する.モデルの性能評価実験のため、データセット全体を学習/開発/評価セットに分割した.セットごと、ラベルごとの事例数を表 2 に示す.これを見ると、ラベルの分布に偏りがあることがわかる.つまり、Visitが最も多く、全体の約 2/3 を占める.次に UnkOrNotVistと PlanToVisitと See が多く、Visit-Pastと Visit-Future はほとんど登場しない傾向がある.

2.2. 問題設定

ひとつの場所参照表現(表 1 の例では下線で表示) とその周辺文脈が入力として与えられ、モデルは訪 問状態ラベルを出力する.以下に例を示す.

入力: 穂高神社に向かいます。

出力:PlanToVisit

ここで、MLM では 6 つのラベルから 1 つのラベル を選ぶ問題 (多クラス分類) として解く. 一方、CLM では、ラベルに該当する文字列を生成することによって解く.

表1 訪問状態ラベルの説明

ラベル定義お照先の場所を訪問したことに言及している。 例) 無事に赤岳山頂に着きました!2. PlanToVisit当該旅行中に、参照先の場所を訪問する予定であると言及している。 例) 糖高神社に向かいます。よ記1.と2.に該当せず、かつ、参照先の場所を視認したことに言及している。 例) 硫黄岳が近くに見えて来ました。上記1.から3.のいずれにも該当せず、かつ、当該旅行前に参照先の場所を訪問したことに言及している。 例) 数年前に訪れたフランス・ルルドの泉を思い出しました。4. Visit-Past上記1.から4.のいずれにも該当せず、かつ、当該旅行後に参照先の場所を訪問する意思があると言及している。 例) 今度は、松江と米子に来てみたいものです。 上記いずれにも該当しない。5. Visit-Future上記1.から4.のいずれにも該当せず、かつ、当該旅行後に参照先の場所を訪問する意思があると言及している。 例) 今度は、松江と米子に来てみたいものです。 上記いずれにも該当しない。6. UnkOrNotVisit例) 糸魚川駅行きの車両は1 両です。	女 1 初向仏悠 / * */レ゚レン試的			
1. Visit とに言及している。 例)無事に赤岳山頂に着きました! 3. See 当該旅行中に、参照先の場所を訪問する予定であると言及している。例) 極高神社に向かいます。 上記1.と2.に該当せず、かつ、参照先の場所を視認したことに言及している。例) 硫黄岳が近くに見えて来ました。 上記1.から3.のいずれにも該当せず、かつ、当該旅行前に参照先の場所を訪問したことに言及している。例) 数年前に訪れたフランス・ルルドの泉を思い出しました。 上記1.から4.のいずれにも該当せず、かつ、当該旅行後に参照先の場所を訪問する意思が出しました。 5. Visit-Future を照先の場所を訪問する意思があると言及している。例) 今度は、松江と米子に来てみたいものです。 上記いずれにも該当しない。 6. UnkOrNotVisit 例) ※魚川駅行きの車両は1	ラベル	定義		
1. Visit 例) 無事に赤岳山頂に着きました! 3. See 当該旅行中に、参照先の場所を訪問する予定であると言及している。例) 穂高神社に向かいます。 上記1.と2.に該当せず、かつ、参照先の場所を視認したことに言及している。例) 硫黄岳が近くに見えて来ました。 上記1.から3.のいずれにも該当せず、かつ、当該旅行前に参照先の場所を訪問したことに言及している。例) 数年前に訪れたフランス・ルルドの泉を思い出しました。 上記1.から4.のいずれにも該当せず、かつ、当該旅行後に参照先の場所を訪問する意思があると言及している。例) 今度は、松江と米子に来てみたいものです。 上記いずれにも該当しない。例) 余魚川駅行きの車両は1		参照先の場所を訪問したこ		
(例) 無事に赤岳山頂に着きました! 当該旅行中に、参照先の場所を訪問する予定であると言及している。例) 種高神社に向かいます。 上記1.と2.に該当せず、かつ、参照先の場所を視認したことに言及している。例) 硫黄岳が近くに見えて来ました。 上記1.から3.のいずれにも該当せず、かつ、当該旅行前に参照先の場所を訪問したことに言及している。例) 数年前に訪れたフランス・ルルドの泉を思い出しました。 上記1.から4.のいずれにも該当せず、かつ、当該旅行後に参照先の場所を訪問する意思がより、の場所を訪問する意思があると言及している。例) 今度は、松江と米子に来てみたいものです。 上記いずれにも該当しない。例) 余度は、松江と米子に来てみたいものです。	1 Wigit	とに言及している.		
2. PlanToVisit当該旅行中に、参照先の場所を訪問する予定であると言及している。 例) 	1. VISIC	例) <i>無事に<u>赤岳山頂</u>に着きま</i>		
2. PlanToVisitを訪問する予定であると言及している. 例) 穂高神社に向かいます。 上記1.と2.に該当せず,かつ, 参照先の場所を視認したことに言及している. 例) 硫黄症が近くに見えて来ました。 上記1.から3.のいずれにも該当せず,かつ,当該旅行前に参照先の場所を訪問したことに言及している. 例) 数年前に訪れたフランス・ルルドの泉を思い出しました。4. Visit-Past上記1.から4.のいずれにも該当せず,かつ,当該旅行後に参照先の場所を訪問する意思せず,かつ,当該旅行後に参照先の場所を訪問する意思があると言及している. 例) 今度は、松江と米子に来てみたいものです。 上記いずれにも該当しない. 例) 糸魚川駅行きの車両は1		した!		
Z. PlanToVisit 及している。 例) 糖高神社に向かいます。 上記1.と2.に該当せず,かつ、参照先の場所を視認したことに言及している。 とに言及している。 月) 硫黄岳が近くに見えて来ました。 上記1.から3.のいずれにも該当せず、かつ、当該旅行前に参照先の場所を訪問したことに言及している。 とに言及している。 例) 数年前に訪れたフランス・ルルドの泉を思い出しました。 上記1.から4.のいずれにも該当せず、かつ、当該旅行後に参照先の場所を訪問する意思があると言及している。 機別・今度は、松江と米子に来てみたいものです。 上記いずれにも該当しない。 上記いずれにも該当しない。 6. UnkOrNotVisit 例) 糸魚川駅行きの車両は1		当該旅行中に,参照先の場所		
及している。	2 Dlanmassiai+	を訪問する予定であると言		
上記1.と2.に該当せず,かつ,参照先の場所を視認したことに言及している。例) <u>硫黄岳</u> が近くに見えて来ました。 上記1.から3.のいずれにも該当せず,かつ,当該旅行前に参照先の場所を訪問したことに言及している。例) <u>数年前に訪れたフランス・ルルドの泉を思い出しました。</u> 4. Visit-Past 上記1.から4.のいずれにも該当せず,かつ,当該旅行後に参照先の場所を訪問する意思があると言及している。例)今度は、 <u>松江と米子</u> に来てみたいものです。上記いずれにも該当しない。 6. UnkOrNotVisit 例) <u>糸魚川駅</u> 行きの車両は1	2. Planfovisit	及している.		
3. See参照先の場所を視認したことに言及している。 とに言及している。 例) <u>硫黄岳</u> が近くに見えて来ました。 上記 1.から 3.のいずれにも該当せず、かつ、当該旅行前に参照先の場所を訪問したことに言及している。 例) 数年前に訪れたフランス・ルルドの泉を思い出しました。 上記 1.から 4.のいずれにも該当せず、かつ、当該旅行後に参照先の場所を訪問する意思があると言及している。 例) 今度は、松江と米子に来てみたいものです。 上記いずれにも該当しない。 6. UnkOrNotVisit 例) <u>糸魚川駅</u> 行きの車両は 1		例) <u>穂高神社</u> に向かいます。		
3. Seeとに言及している. 例) <u>硫黄岳</u> が近くに見えて来ました。上記1.から3.のいずれにも該当せず、かつ、当該旅行前に参照先の場所を訪問したことに言及している. 例) 数年前に訪れたフランス・ルルドの泉を思い出しました。4. Visit-Past上記1.から4.のいずれにも該当せず、かつ、当該旅行後に参照先の場所を訪問する意思があると言及している。例)今度は、松江と米子に来てみたいものです。5. Visit-Future上記1.から4.のいずれにも該当せず、かつ、当該旅行後に参照先の場所を訪問する意思があると言及している。例)今度は、松江と米子に来てみたいものです。上記いずれにも該当しない.人名川駅行きの車両は1		上記1.と2.に該当せず,かつ,		
例)硫黄岳が近くに見えて来ました。上記1.から3.のいずれにも該当せず、かつ、当該旅行前に参照先の場所を訪問したことに言及している。例)参照先の場所を訪問したことに言及している。例)4. Visit-Pastとに言及している。 例)担定 とた。 上記1.から4.のいずれにも該当せず、かつ、当該旅行後に参照先の場所を訪問する意思があると言及している。例)会展生の場所を訪問する意思があると言及している。例)ク度は、松江と米子に来てみたいものです。 上記いずれにも該当しない。上記いずれにも該当しない。6. UnkOrNotVisit例)糸魚川駅行きの車両は1		参照先の場所を視認したこ		
# した。	3. See	とに言及している.		
上記1.から3.のいずれにも該当せず、かつ、当該旅行前に参照先の場所を訪問したことに言及している。 例) 数年前に訪れたフランス・ルルドの泉を思い出しました。 上記1.から4.のいずれにも該当せず、かつ、当該旅行後に参照先の場所を訪問する意思があると言及している。例)今度は、松江と米子に来てみたいものです。 上記いずれにも該当しない。 6. UnkOrNotVisit 例) <u>糸魚川駅</u> 行きの車両は1		例) <u>硫黄岳</u> が近くに見えて来		
当せず、かつ、当該旅行前に参照先の場所を訪問したことに言及している。例) 数年前に訪れたフランス・ルルドの泉を思い出しました。 上記1.から4.のいずれにも該当せず、かつ、当該旅行後に参照先の場所を訪問する意思があると言及している。例)今度は、松江と米子に来てみたいものです。 上記いずれにも該当しない。 6. UnkOrNotVisit 例) <u>糸魚川駅</u> 行きの車両は1		ました。		
4. Visit-Past参照先の場所を訪問したことに言及している。 とに言及している。 例) 数年前に訪れたフランス・ルルドの泉を思い出しました。上記1.から4.のいずれにも該当せず、かつ、当該旅行後に参照先の場所を訪問する意思があると言及している。 例)今度は、松江と米子に来てみたいものです。上記いずれにも該当しない。 6. UnkOrNotVisit上記いずれにも該当しない。		上記1.から3.のいずれにも該		
4. Visit-Past とに言及している. 例) 数年前に訪れたフランス・ルルドの泉を思い出しました。 上記1.から4.のいずれにも該当せず、かつ、当該旅行後に参照先の場所を訪問する意思があると言及している。例)今度は、松江と米子に来てみたいものです。 上記いずれにも該当しない. 6. UnkOrNotVisit 例) 糸魚川駅行きの車両は1		当せず、かつ、当該旅行前に		
グリングを用い出します。 ス・ルルドの泉を思い出しました。上記1.から4.のいずれにも該当せず、かつ、当該旅行後に参照先の場所を訪問する意思があると言及している。 例)今度は、松江と米子に来てみたいものです。上記いずれにも該当しない。6. UnkOrNotVisit例) <u>糸魚川駅</u> 行きの車両は1		参照先の場所を訪問したこ		
ス・ルルドの泉を思い出しました。 上記1.から4.のいずれにも該当せず、かつ、当該旅行後に参照先の場所を訪問する意思先の場所を訪問する意思があると言及している。 担があると言及している。例)今度は、松江と米子に来てみたいものです。 上記いずれにも該当しない。 6. UnkOrNotVisit 例)条魚川駅行きの車両は1	4. Visit-Past	とに言及している.		
した。 上記1.から4.のいずれにも該当せず、かつ、当該旅行後に参照先の場所を訪問する意思先の場所を訪問する意思があると言及している。例)今度は、松江と米子に来てみたいものです。 上記いずれにも該当しない。 6. UnkOrNotVisit 例)		例) <i>数年前に訪れた<u>フラン</u></i>		
上記1.から4.のいずれにも該当せず、かつ、当該旅行後に参照先の場所を訪問する意思があると言及している。例)今度は、 <u>松江と米子</u> に来てみたいものです。 上記いずれにも該当しない。 6. UnkOrNotVisit 例) <u>糸魚川駅</u> 行きの車両は1		<u>ス・ルルドの泉</u> を思い出しま		
5. Visit-Future当せず、かつ、当該旅行後に 参照先の場所を訪問する意 思があると言及している。 例) 今度は、松江と米子に来てみたいものです。 上記いずれにも該当しない。6. UnkOrNotVisit例) <u>糸魚川駅</u> 行きの車両は1		した。		
5. Visit-Future 参照先の場所を訪問する意思があると言及している。 規) 今度は、松江と米子に来てみたいものです。 上記いずれにも該当しない。 6. UnkOrNotVisit 例) 条魚川駅行きの車両は1		上記1.から4.のいずれにも該		
 5. Visit-Future 思があると言及している. 例) 今度は、<u>松江と米子</u>に来てみたいものです。 上記いずれにも該当しない. 6. UnkOrNotVisit 例) <u>糸魚川駅</u>行きの車両は1 		当せず,かつ,当該旅行後に		
思があると言及している. 例) <i>今度は、<u>松江と米子</u>に来てみたいものです。</i> 上記いずれにも該当しない. 6. UnkOrNotVisit 例) <u>糸魚川駅</u> 行きの車両は1	5 Wigit Enture	参照先の場所を訪問する意		
てみたいものです。 上記いずれにも該当しない。 6. UnkOrNotVisit 例) <u>糸魚川駅</u> 行きの車両は1	3. Visit-Future	思があると言及している.		
上記いずれにも該当しない. 6. UnkOrNotVisit 例) <u>糸魚川駅</u> 行きの車両は1		例) <i>今度は、<u>松江と米子</u>に来</i>		
6. UnkOrNotVisit 例) <u>糸魚川駅</u> 行きの車両は1		てみたいものです。		
		上記いずれにも該当しない.		
両です。	6.UnkOrNotVisit	例) <u>糸魚川駅</u> 行きの車両は1		
		両です。		

表2 データセットの記述統計

	Vis	Plan	See	Past	Fut	UN
学習	2,577	358	212	10	6	619
開発	332	48	46	1	4	74
評価	748	121	59	10	4	160

² https://github.com/naist-nlp/atd-mcl

¹ https://www.nii.ac.jp/dsc/idr/arukikata/

3. 実験

3.1. モデルの詳細

3 つのモデルを設定し、それらの性能比較を行う.
一つめのモデル「最頻ラベル」は、最も頻度の高い
訪問順序ラベル Visit を常に出力する.これは一
定の基準を示す目的で使用する.二つめのモデルと
して、MLM の LUKE (Ri et al, 2023)を採用する.そ
の実装として機械学習ライブラリ Hugging Face
Transformers³から提供されている studio-ousia/mluke-large-lite⁴を使用した.事前学習済みモデルを学習データでファインチューニングした.三つめのモデルとして、CLM の Llama (Touvron et al, 2023)を採用する.その実装として elyza/ELYZA-japanese-Llama-2-7b-instruct⁵を使用した.事前学習済みモデルをベースに学習データでLoRA チューニング(Hu et al, 2022)を行った.

3.2. 性能比較結果

表3 訪問状態予測の性能比較

モデル	正解率
最頻ラベル	.679
LUKE	.789
Llama	.781

表3に正解率を示す. MLM の LUKE と CLM の Llama は同等の正解率として 78%を記録した. モデルパラメタ数の観点から考察すると, パラメタ数の少ない LUKE (5.6 億パラメタ) の方が, Llama (70 億パラメタ) よりも効果的にタスクを遂行できていると解釈できる. この理由として, 解き方の違いとその困難性が挙げられる. LUKE では多クラス分類問題として訪問状態ラベルを予測しているのに対し, Llama では言語生成問題としてラベルを生成している. 一般に多クラス分類よりも言語生成の方が難しく, 学習データ量も要すると言える. この解き方の違いが, パラメタ数の開きにも関わらず性能差を生まなかった原因であると推察される.

3.3. ラベルごとの性能比較

表4 訪問状態ラベルごとの正解率

	事例数	LUKE	Llama
Visit	332	.930	.903
PlanToVisit	48	.666	.479
See	46	.760	.826
Visit-Past	1	.000	.000
Visit-Future	4	.000	.000
UnkOrNotVisit	74	.540	.391

開発データを対象として、モデルの解析結果について詳細に分析する。表4に、訪問状態ラベルごとの正解率を示す。データセット中で最も多いラベルVisitについては9割以上を正解できている。Seeについてもどちらのモデルも8割前後を正解できている。一方で、PlanToVisitとUnkOrNotVisitについては改善の余地が残る。これらのラベルは頻度も中程度あり、Visitと明確に区別できることが望ましいため、今後さらなる改善が必要となる。

3.4. 予測傾向のモデル間比較

表 5 訪問状態ラベルごとの正解事例数

LUKE Llama	010	\bigcirc \times	$\times \bigcirc$	\times \times
Visit	287	22	13	10
PlanToVisit	18	14	5	11
See	34	1	4	7
Visit-Past	0	0	0	1
Visit-Future	0	0	0	4
UnkOrNotVisit	28	12	1	33

LUKE と Llama の正解・不正解の事例数について表 5 に示す。LUKE と Llama の両方のモデルが正解だった事例数を「 \bigcirc | \bigcirc 」の列に示す。同様に,LUKE のみが正解だった事例数を「 \bigcirc | \times 」,Llama のみが正解だった事例数を「 \times | \bigcirc 」,両方のモデルで不正解だった事例数を「 \times | \times 」の列に示す。最も多いラベル Visit に関しては,どちらのモデルでも正解できている割合が多かった。

³ https://huggingface.co/docs/transformers/index

⁴ https://huggingface.co/studio-ousia/mluke-large-lite

⁵ https://huggingface.co/elyza/ELYZA-japanese-Llama-2-7b-instruct

ここで UnkOrNotVisit に着目すると,両方のモデルで不正解だった事例数(33)が,両方のモデルで正解だった事例数(28)を上回った. 具体的にはどのような事例が両方のモデルにとって難しいかを,UnkOrNotVisitの具体例を観察しながら考察する.

例1) ホテルの目の前の気になる<u>お店</u>ですが、 今回はパスしました。

例2)今回は、<u>松江と米子</u>は素通りします。 これらの例で「お店」「松江」「米子」を書き手は訪れていないことが、「~パスしました」「~素通りします」等の語句から読み取れるため、正解のラベルは UnkOrNotVisit となる. しかし、LUKE と Llama はともに Visit ラベルと予測している. その理由として、上記の語句の意味を適切に捉えられなかった可能性が挙げられる.

3.5. 正解ラベルと予測ラベルの混同行列



図1 LUKE の混同行列

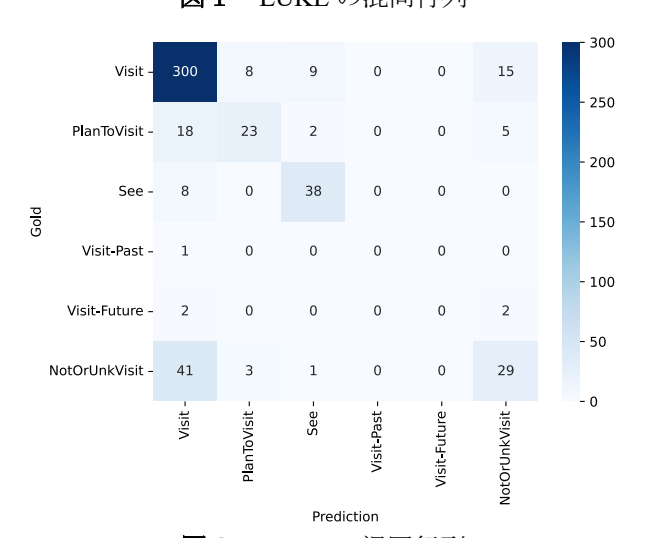


図2 Llama の混同行列

正解/予測ラベルの混同を図1と図2に示す、「Gold」は正解ラベルを表し、「Prediction」は予測ラベルを表す。たとえば図1では、GoldがVisitでPredictionもVisitであるのが309件ある。つまり、対角線が正解事例数となる。一方、GoldがNotOrUnkVisitでPredictionがVisitであるのは27件ある。図2のLlamaも同様のケースが41件ある。したがって、書き手が「訪れていない」のに「訪れている」と解釈してしまうケースが比較的多い。今後いかに「訪れていない」ケースで誤りを減らせるかが、モデルの正解率改善の鍵となることが示唆された。

4. おわりに

本研究では、機械学習モデルがどの程度の正確性で文章から訪問行動を読み取れるかを調査した. 言語モデルを用いた実験の結果、8 割程度の正解率を記録した. 詳しい分析を通じて、書き手が「訪れていない」場合でもモデルが「訪れた」と解釈してしまうケースも見られ、今後の改善点を明らかにした.

謝辞 Acknowledgement

本研究は JSPS 科研費 JP23K24904 の助成を受けた ものです.

参考文献 References (in Harvard style)

株式会社地球の歩き方 (2022) 地球の歩き方旅行記データセット. 国立情報学研究所情報学研究データリポジトリ. https://doi.org/10.32130/idr.18.1

山本和太郎他 (2024) 移動軌跡解析:文章中の人物の地理的な移動を読み取る.言語処理学会第30回年次大会予稿集.

Shohei Higashiyama et al, (2024) Arukikata Travelogue Dataset with Geographic Entity Mention, Coreference, and Link Annotation. In Proceedings of EACL.

Edward J. Hu, Yelong Shen, Phillip Wallis, Zeyuan Allen-Zhu, Yuanzhi Li, Shean Wang, Lu Wang, Weizhu Chen (2022) LoRA: Low-Rank Adaptation of Large Language Models. In Proceedings of ICLR.

Ri Ryokan Ri, Ikuya Yamada, Yoshimasa Tsuruoka (2023) mLUKE: The Power of Entity Representations in Multilingual Pretrained Language Models. In Proceedings of ACL.

Hiroki Ouchi et al, (2022) Arukikata Travelogue Dataset. arXiv.

Hugo Touvron et al., (2023) Llama 2: Open Foundation and Fine-Tuned Chat Models. arXiv.